

## حل مساله فروشنده دوره‌گرد توسط اتوماتای یادگیر توزیع شده<sup>۱</sup>

محمد علیپور

دانشکده مهندسی کامپیوتر و فناوری اطلاعات، دانشگاه صنعتی امیرکبیر

و

پژوهشگاه دانشگاه بینایی، پژوهشکده علوم کامپیوتر

تهران ایران

**چکیده:** مساله فروشنده دوره‌گرد از مسائل NP-Complete بوده و بهمین دلیل الگوریتم‌های تقریبی متعددی از جمله الگوریتم‌های مبتنی بر شبکه‌های عصبی، کولونی مورچه‌ها و الگوریتم‌های ژنتیکی که جوابهای قابل قبول در زمان کوتاه تولید می‌کنند برای حل آن گزارش شده است. اتوماتای یادگیر یک ابزار جستجوی عمومی می‌باشد و برای حل تعدادی از مسائل NP-Complete بکار برده شده است. در این مقاله با استفاده از اتوماتای یادگیر توزیع شده، یک الگوریتم جدید برای حل مساله فروشنده دوره‌گرد معرفی خواهیم کرد و کارایی الگوریتم ارائه شده را بر روی نمونه مسائل استاندارد مساله فروشنده دوره‌گرد متقارن و همچنین نامتقارن بررسی کرده و سپس با نتایج بدست آمده توسط الگوریتم‌های دیگر مقایسه می‌کنیم. آزمایش‌های انجام گرفته نشان میدهد که الگوریتم پیشنهادی در مقایسه با الگوریتم‌های موجود از کارایی خوبی برخوردار است.

**کلمات کلیدی:** مساله فروشنده دوره‌گرد، اتوماتای یادگیر، اتوماتای یادگیر توزیع شده

### ۱- مقدمه

مساله فروشنده دوره‌گرد<sup>۲</sup> یکی از مسائل کلاسیک ثوری گراف در ریاضیات است که البته در علوم مهندسی نیز دارای کاربردهای فراوانی می‌باشد.<sup>۳</sup> در این مساله یک فروشنده فرضی سعی دارد کوتاهترین مسیر را در عبور از تعدادی شهر انتخاب کند به طوری که می‌بایست از هر شهر تنها یک بار عبور کرده و پس از عبور همه شهرهای مورد نظر به اولین شهر واقع در مسیر بازگردد. در واقع مساله یافتن کوتاهترین گردشی است که  $N$  گره یک گراف را به هم متصل می‌کند. این مساله برای اولین بار توسط دانشمندی به نام اولر در سال ۱۷۵۹ مطرح گردید، ولی شهرت واقعی خود را از کتابی که در سال ۱۸۳۴ توسط ویگت نوشته شد، بدست آورد. در سال ۱۹۹۴ گروهی از دانشمندان نمونه مساله‌ای ۷۳۹۷ شهری حل کردند که در سوراخ کاری فیبر مدار چاپی با هدف به حداقل رساندن حرکت دریل بود، بکار می‌رفت، و همان افراد در سال ۱۹۹۸ مساله‌ای

<sup>۱</sup>بخشی از این تحقیق توسط پژوهشگاه دانشگاه بینایی (IPM)، پژوهشکده علوم کامپیوتر حمایت مالی شده است.

<sup>۲</sup> Traveling Salesman Problem (TSP)

<sup>۳</sup> [Http://www.tsp.gatech.edu/apps](http://www.tsp.gatech.edu/apps)

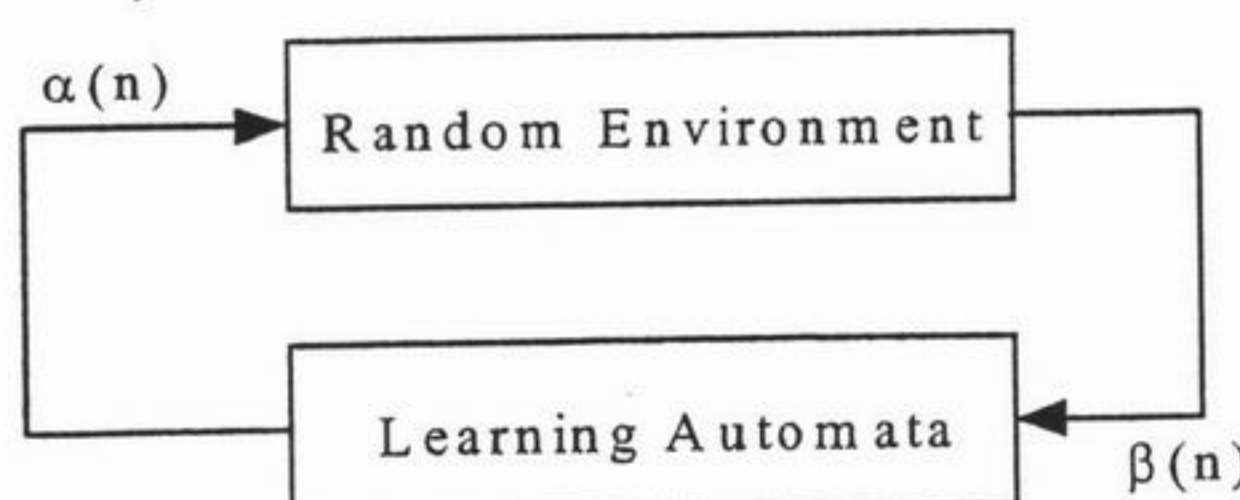
۱۳۵۰۹ شهری را حل کردند [۱]. مساله فروشنده دوره گرد با مساله گردش هامیلتونی دارای ارتباط بسیار نزدیکی است، اگر در یک گراف وزن دار، گره‌ها متناظر با شهرها، لبه‌ها متناظر با جاده‌هایی که این شهرها را بهم متصل می‌سازد و وزن لبه‌ها متناظر با فواصل بین شهرها باشد، مساله فروشنده دوره گرد در واقع به مساله یافتن کوتاهترین گردش هامیلتونی تبدیل می‌گردد. مساله TSP به دو گروه TSP مقارن و TSP نامقارن تقسیم می‌شود. در TSP مقارن، گراف متناظر با مساله بدون جهت و در TSP نامقارن گراف متناظر جهت‌دار در نظر گرفته می‌شود.

الگوریتم‌های مختلفی برای حل مساله فروشنده دوره گرد گزارش شده است که الگوریتم‌های کلاسیک جستجوی محلی [۲]، روش سرد شدن فلزات<sup>۳</sup> [۳]، جستجوی تابو<sup>۴</sup> [۴]، شبکه‌های الاستیک [۵]، شبکه‌های عصبی [۶]، الگوریتم‌های ژنتیکی [۷] و کولونی مورچه‌ها<sup>۸</sup> [۹] از آن جمله می‌باشند.

در این مقاله یک الگوریتم جدید مبتنی بر اتوماتای یادگیر توزیع شده [۱۰]، برای حل مساله فروشنده دوره گرد پیشنهاد می‌شود. این الگوریتم قادر است جوابهای بهینه و یا نزدیک به بهینه را برای هر دو نوع مقارن و نامقارن مساله تولید نماید. الگوریتم پیشنهادی با الگوریتم‌های گزارش شده مبتنی بر الگوریتم‌های ژنتیکی، روش سرد شدن فلزات و کولونی مورچه‌ها مقایسه گردیده است. نتایج این مقایسه سرعت الگوریتم پیشنهادی و کیفیت جوابهای بدست آمده را تائید می‌کند. ادامه مقاله بشرح زیر سازماندهی شده است. در بخش ۲ مقاله، اتوماتای یادگیر بطور خلاصه معرفی شده و در بخش ۳ اتوماتای یادگیر توزیع شده شرح داده می‌شود. الگوریتم پیشنهادی در بخش ۴ و نتایج بدست آمده از اجرای الگوریتم را در بخش ۵ نشان می‌دهیم. بخش پایانی نتیجه گیری می‌باشد.

## ۲- اتوماتای یادگیر<sup>۱</sup>

اتوماتای یادگیر یک مدل انتزاعی است که تعداد محدودی عمل را می‌تواند انجام دهد. هر عمل انتخاب شده توسط محیطی احتمالی ارزیابی شده و پاسخی به اتوماتای یادگیر داده می‌شود. اتوماتای یادگیر از این پاسخ استفاده نموده و عمل خود را برای مرحله بعد انتخاب می‌کند. شکل ۱ ارتباط بین اتوماتای یادگیر و محیط را نشان می‌دهد.



شکل ۱: ارتباط بین اتوماتای یادگیر و محیط

### ۱-۱- محیط<sup>۲</sup>

محیط را می‌توان توسط سه تایی  $E \equiv \{\alpha, \beta, c\}$  نشان داد که در آن  $\alpha \equiv \{\alpha_1, \alpha_2, \dots, \alpha_r\}$  مجموعه ورودیها،  $\beta \equiv \{\beta_1, \beta_2, \dots, \beta_m\}$  مجموعه خروجیها و  $c \equiv \{c_1, c_2, \dots, c_r\}$  مجموعه احتمالهای جریمه می‌باشد. هر گاه  $\beta$  مجموعه دو عضوی باشد، محیط از نوع P می‌باشد. در چنین محیطی  $\beta_1 = 1$  به عنوان جریمه و  $\beta_2 = 0$  به عنوان پاداش در نظر گرفته می‌شود. در محیط از نوع Q،  $\beta(n)$  می‌تواند به طور گستته یک مقدار از مقادیر محدود در فاصله [۰، ۱]<sup>۰</sup> و در

<sup>۱</sup> Simulated Annealing

<sup>۲</sup> Tabu

<sup>۳</sup> Ants Colony

<sup>۴</sup> Learning Automata

<sup>۵</sup> Environment

محیط از نوع  $S, \beta(n)$  متغیر تصادفی در فاصله  $[0, 1]$  است. احتمال اینکه عمل  $\alpha$  نتیجه نامطلوب داشته باشد می باشد. در محیط ایستا<sup>۹</sup> مقادیر بدون تغییر می مانند، حال آنکه در محیط غیر ایستا<sup>۱۰</sup> این مقادیر در طی زمان تغییر می کنند. اتوماتاهای یادگیری دو گروه با ساختار ثابت و با ساختار متغیر تقسیم بندی میگردند. در ادامه به شرح مختصری درباره اتوماتای یادگیر با ساختار متغیر که در این مقاله از آنها استفاده شده است می پردازیم.

### ۲-۲- اتوماتای یادگیر با ساختار متغیر<sup>۱۱</sup>

اتوماتای یادگیر با ساختار متغیر توسط ۴ تائی  $\{\alpha, \beta, p, T\}$  نشان داده می شود که در آن  $\{\alpha_1, \alpha_2, \dots, \alpha_r, \Lambda\} \equiv \alpha$  مجموعه عملهای اتوماتا،  $\{\beta_1, \beta_2, \dots, \beta_m\} \equiv \beta$  مجموعه ورودیهای اتوماتا،  $\{p_1, p_2, \dots, p_r, \Lambda\} \equiv p$  بردار احتمال انتخاب هر یک از عملها، و  $p(n+1) = T[\alpha(n), \beta(n), p(n)]$  الگوریتم یادگیری می باشد. در این نوع از اتوماتاهای، اگر عمل  $\alpha$  در مرحله  $n$  انتخاب شود و پاسخ مطلوب از محیط دریافت نماید، احتمال  $p_i(n)$  افزایش یافته و سایر احتمالها کاهش می یابند. و برای پاسخ نامطلوب احتمال  $p_i(n)$  کاهش یافته و سایر احتمالها افزایش می یابند. در هر حال، تغییرات به گونه ای صورت می گیرد تا حاصل جمع  $p_i(n)$  ها همواره ثابت و مساوی یک باقی بماند. الگوریتم زیر یک نمونه از الگوریتمهای یادگیری خطی برای اتوماتای یادگیر با ساختار متغیر میباشد

الف- پاسخ مطلوب

$$p_i(n+1) = p_i(n) + a[1 - p_i(n)] \\ p_j(n+1) = (1-a)p_j(n) \quad j \neq i \quad \forall j$$

ب- پاسخ نامطلوب

$$p_i(n+1) = (1-b)p_i(n) \\ p_j(n+1) = \frac{b}{r-1} + (1-b)p_j(n) \quad j \neq i \quad \forall j$$

در روابط فوق،  $a$  پارامتر پاداش و  $b$  پارامتر جریمه می باشد. با توجه به مقادیر  $a$  و  $b$  سه حالت را می توان در نظر گرفت. زمانیکه  $a$  و  $b$  با هم برابر باشند، الگوریتم را  $L_{RP}$ <sup>۱۲</sup>، زمانیکه  $b$  از  $a$  خیلی کوچکتر باشد، الگوریتم را  $L_{REP}$ <sup>۱۳</sup> و زمانیکه  $b$  مساوی صفر باشد، الگوریتم را  $L_{RI}$ <sup>۱۴</sup> می نامیم. برای مطالعه بیشتر در باره اتوماتاهای یادگیر می توان به [۱۳],[۱۶],[۱۱],[۱۲] مراجعه کرد.

### ۳- اتوماتای یادگیر توزیع شده<sup>۱۵</sup>

اتوماتای یادگیر توزیع شده (DLA)، شبکه‌ای از اتوماتاهای یادگیر است که برای حل یک مساله با یکدیگر همکاری می نمایند [۱۰]. تعداد اقدامهای یک اتوماتا در DLA برابر تعداد اتوماتاهای متصل به اتوماتای یادگیر فوق می باشد. انتخاب یک اقدام توسط یک اتوماتا در شبکه، اتوماتای متناظر با این اقدام را فعال می سازد. عنوان مثال در شکل ۲ هر اتوماتا دارای دو اقدام می باشد. انتخاب اقدام  $LA_1$  توسط  $\alpha_2$ ، اتوماتا یادگیر  $LA_3$  را فعال خواهد کرد. اتوماتای یادگیر فعال شده ( $LA_3$ ) بنوبه‌ی خود یکی از اقدامهای خود را انتخاب می کند که در نتیجه آن یکی از اتوماتاهای متصل به آن اتوماتا که متناظر با اقدام

<sup>۹</sup> Stationary

<sup>۱۰</sup> Non-Stationary

<sup>۱۱</sup> Variable Learning Automata

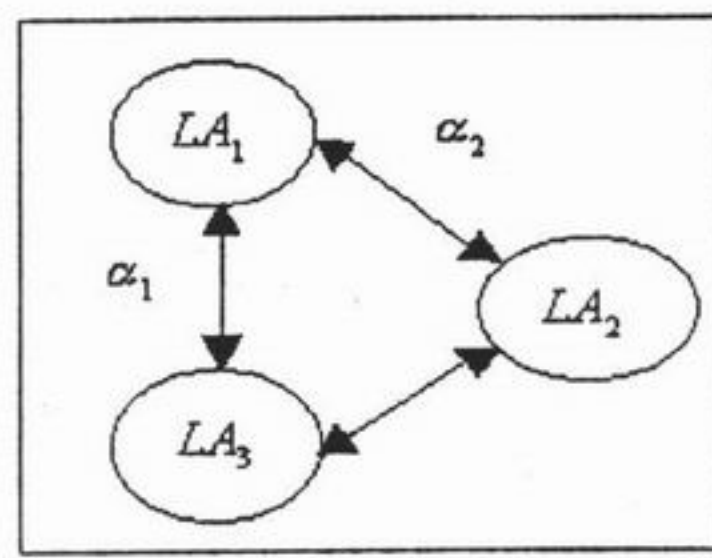
<sup>۱۲</sup> Linear Reward Pealty

<sup>۱۳</sup> Linear Reward Epsilon Penalty

<sup>۱۴</sup> Linear Reward Inaction

<sup>۱۵</sup> Distributed Learning Automata

انتخاب شده می باشد فعال می شود. در هر زمان فقط یک اتماتا در شبکه فعال میباشد. بطور رسمی DLA را میتوان توسط گراف  $DLA = (V, E)$  که  $V = \{LA_1, LA_2, \dots, LA_n\}$  مجموعه اتماتای یادگیر و  $n$  تعداد اتماتاها در DLA و  $E \subset V \times V$  مجموعه لبهای گراف می باشد، تعریف کرد. لبه  $(j, i)$  اقدام  $j$  اتماتا  $LA_i$  را نشان می دهد.  $LA_j$  زمانی فعال خواهد شد که اقدام  $j$  اتماتون  $LA_i$  انتخاب شود. تعداد اقدامهای اتماتا  $LA_k$  ( $k = 1, 2, \dots, n$ ) برابر درجهی خروجی آن گره می باشد. برای اطلاعات بیشتر درباره اتماتای یادگیر توزیع شده میتوان به مراجع [۱۰] و [۱۴] مراجعه کرد.



شکل ۲: اتماتای یادگیر توزیع شده (DLA) با ۳ اتماتای یادگیر

#### ۴- الگوریتم پیشنهادی

ابتدا شبکه‌ای از اتماتاهای یادگیر که متناظر<sup>۱۶</sup> با گراف مساله TSP میباشد ایجاد می شود. در این شبکه هر گره (معادل یک شهر در مساله داده شده)، یک اتماتا یادگیر با ساختار متغیر بوده و هر لبی خروجی این گره (جاده ای که توسط آن از این شهر میتوان به شهری دیگری رفت) یکی از اقدامهای آن اتماتا می باشد. تعداد اقدامهای یک اتماتا یادگیر معادل تعداد شهرهایی می باشد که میتوان بطور مستقیم از این شهر به آنها مسافت کرد. خروجی DLA ترتیبی از اقدامهای انتخاب شده توسط اتماتاها می باشد که میتوان (یا گردش) ویژه‌ای را در گراف نشان می دهد. محیط از طول این مسیر برای تولید خروجی استفاده می کند. این خروجی با توجه به مطلوب یا نامطلوب بودن آن، باعث پاداش و یا پنالتی دادن به اقدامهای واقع در این مسیر (گردش هامیلتونی ایجاد شده البته اگر گردش هامیلتونی در گراف وجود داشته باشد) می شود.

قبل از اینکه به شرح الگوریتم پیشنهادی بپردازیم بایستی به این نکته اشاره نمود که آزمایش‌های انجام شده نشان داد که اگر اتماتای یادگیر فعال فقط از بردار احتمال اقدامها برای انتخاب اقدام خود استفاده کند، جوابهای بدست آمده توسط الگوریتم تقریباً غیر قابل قبول بوده و همچنین نرخ همگرایی الگوریتم بسیار پایین میباشد. جهت رفع این مشکل، به هر اتماتای یادگیر اجازه داده شد در انتخاب اقدام خود، علاوه بر استفاده از بردار احتمال اقدامها، از مقدار عکس فاصله بین دو گره (عکس فاصله بین گره فعال (اتماتای فعال) و گره‌های متصل به این لب نیز استفاده کند. آزمایشها نشان داد که استفاده از این مقدار در انتخاب شهر بعدی بهبود قابل ملاحظه‌ای در کارایی و نرخ همگرایی الگوریتم ایجاد میکند و باعث تولید جوابهای بهینه و یا خیلی نزدیک به جواب بهینه<sup>۱۷</sup> میشود. مقدار عکس فاصله بین دو گره  $j$  و  $i$  در گراف TSP توسطتابع  $(i, j)^{-1} W$  نشان داده میشود. برای استفاده از این تابع در انتخاب اقدام اتماتا فعال، بردار احتمال اقدامهای اتماتای  $j$ ،  $P^j$  را بطور موقت طبق روابط زیر به بردار  $P^{j'}$  تغییر می دهیم. پس از انتخاب اقدام، بردار احتمال اقدامها مجدداً به مقدار قبلی خود  $P^j$  برگردانده می شود. این کار در هر تکرار انجام میگیرد. روابط زیر چگونگی محاسبه بردار  $P^{j'}$  را از بردار احتمال اقدام  $P^j$  نشان می دهد

بردار احتمال اقدام اتماتا  $j$ :

<sup>۱۶</sup> Isomorphic

<sup>۱۷</sup> Optimal

$$P^j = [p_1^j, p_2^j, \dots, p_r^j]^T$$

بردار احتمال اقدام تغییر یافته اتوماتا  $\hat{J}$ :

$$P'^j = \{p'_i | p'_i = \frac{[p_i^j \times W^{-1}(j,i)]^\beta}{\sum_{i=1}^r [p_i^j \times W^{-1}(j,i)]^\beta} : i = 1, 2, \dots, r\}$$

در این رابطه  $P_i^j$ ، احتمال انتخاب اقدام  $i$  توسط اتوماتا  $\hat{J}$  می باشد و  $(i, j)$  عکس فاصله بین دو گره  $j$  و  $i$  در گراف TSP بوده و  $\beta \geq 1$  اهمیت نسبی فاصله بین دو گره در انتخاب یک اقدام را مشخص میکند. بعارتی دیگر احتمال انتخاب یالهایی (اقدامهایی) که دارای احتمال انتخاب بیشتر و طول یال کمتر باشند، بالاتر رفته و بالعکس. آزمایشها نشان داده اند که با اعمال تغییرات فوق در بردار احتمال اقدام و با توجه به در نظر گرفتن فاصله بین دو گره، نرخ همگرایی الگوریتم پیشنهادی بمیزان قابل ملاحظه ای افزایش می یابد و در عین حال جوابهای نزدیک به بهینه تولید خواهد شد.

اکنون به توصیف الگوریتم پیشنهادی می پردازیم. در گام نخست یکی از شهرها از گراف TSP بصورت تصادفی بعنوان شهر آغازی گردش انتخاب می شود. در مرحله بعد اتوماتای متناظر با این شهر یکی از اقدامهای خود را طبق بردار احتمال اقدامهای تغییر یافته،  $P'^j$ ، با استفاده از تابع  $\text{GetNextCity}()$  انتخاب می کند (شکل ۴). اعمال این اقدام، اتوماتا طرف دیگر لبه ای که متناظر با اقدام انتخاب شده میباشد را فعال می سازد. با توجه به اینکه در گردش هامیلتونی هر شهر نبایستی بیش از یکبار ملاقات شود بایستی ترتیبی اتخاذ نمود نا هیچ شهری (گرهای) بیش از یکبار انتخاب نشود. برای این منظور اگر اتوماتایی اقدام  $k$  را از لیست اقدامهای خود انتخاب کند، همزمان با آن هر اتوماتای غیرفعال اقدام  $k$  را در لیست اقدامهای خود را غیر فعال می سازند (اما حذف نمی کند). در ابتدای هر تکرار تمام اقدامهای غیر فعال شده مجدداً فعال خواهند شد. اتوماتای فعال شده با استفاده از بردار احتمال اقدام تغییر یافته خود، اتوماتا طرف دیگر لبه انتخاب شده را فعال می سازد. فرآیند انتخاب اقدام و فعال سازی اتوماتای متناظر با اقدام انتخاب شده تا ملاقات همه گرهای (شهرهای) موجود در گراف TSP و برگشت به شهر آغازین و یا بدلیل اینکه امکان انتخاب اقدام بعدی برای اتوماتا فعال وجود نداشته باشد (امکان ایجاد گردش هامیلتونی با توجه به شهرهایی که قبل انتخاب شده اند و یا گراف نمونه مساله دارای گردش هامیلتونی نباشد)، ادامه می یابد.

پس از پیدا کردن یک گردش، در مرحله سوم طول گردش بدست آمده محاسبه شده و با طول بهترین گردشی که تابحال بدست آمده است مقایسه میگردد. بر اساس نتیجه مقایسه، بردار احتمال اقدامهای اتوماتاهای DLA بروز میشود. نحوه بروزرسانی بردار احتمال اقدامها بدینصورت است که اگر طول گردش ایجاد شده کوچکتر و یا مساوی طول بهترین گردشی که تابحال ایجاد شده است باشد، همه اتوماتاهای DLA اقدام انتخابی خود را طبق الگوریتم یادگیری  $L_{R-I}$ ، پاداش می دهند. برای روشن شدن بیشتر این مطلب الگوریتم  $L_{R-I}$  ذکر شده در بخش آتوماتای یادگیر را مجدداً یادآوری می نمائیم. بعنوان مثال اگر طول گردش ایجاد شده در یک تکرار ( $t$ ) کوچکتر و یا مساوی طول بهترین گردش ایجاد شده تاکنون باشد و در این تکرار اتوماتا  $\hat{J}$  از مجموعه اقدامهای مجاز خود اقدام  $i$  را انتخاب کرده باشد، احتمال انتخاب اقدام  $i$  طبق رابطه زیر افزایش خواهد یافت:

$$p_i(t+1) = p_i(t) + a[1 - p_i(t)]$$

و احتمال انتخاب سایر اقدامهای اتوماتا  $\hat{J}$  بصورت زیر کاهش خواهد یافت:

$$p_k(t+1) = (1-a)p_k(t) \quad k \neq i \quad k = 1, 2, \dots, r$$

در رابطه‌ی بالا پارامتر  $a$  نرخ یادگیری<sup>۱۸</sup> و  $\alpha$  تعداد اقدامهای اتوماتا  $J$  می‌باشد. فرآیند ایجاد گردش تا زمانیکه تعداد گردش‌های ایجاد شده توسط الگوریتم از یک مقدار از پیش تعیین شده بیشتر باشد و یا احتمال مسیر<sup>۱۹</sup> که عبارتست از حاصلضرب احتمال انتخاب لبه‌های موجود در گردش ایجاد شده، از یک مقدار آستانه (برای مثال  $0.9$ ) فزونی گیرد ادامه می‌باید و کوتاهترین گردش همیلتونی ایجاد شده توسط الگوریتم، گردش تقریبی تولید شده توسط الگوریتم می‌باشد. الگوریتم پیشنهادی در شکل ۳ نشان داده شده است.

**Procedure TSP**

**Begin**

```

Initialize the probability vector of each automaton
Repeat //Phase 1
InitialCity := Generate a random number between 1 and n
CurrentCity := InitialCity //choosing the intial city of tour randomly)
Disable action 'CurrentCity' of all Unactivated LAs //Phase 2
for i := 1 to n
if i < n then
    //choose the next node based on active LA modified action probability vector,  $P'^j$ 
    NextCity := GetNextCity(Activated Automaton)
    //if there is no edge between the current city and each of the unselected cities, the current path can't be a
    hamiltonian cycle
    Disable action 'NextCity' of all Unactivated LAs
    if i = n-1 then
        Enable action 'InitialCity' of LA NextCity
    end if
else
    NextCity := InitialCity
    //if there is no edge between the current city and intial city, current path isn't hamilton cycle
end if
CurrentCity := NextCity
next i //Phase 3
Compute the tour length
if CurrentTourLength < BestTourLength then
    //Reward the selected actions of all LAs along the tour according to the  $L_{R-I}$ 
    for j := 1 to n //<i> is the selected action of automata <j>
         $p_i(t+1) = p_i(t) + \alpha[1 - p_i(t)]$ 
         $p_k(t+1) = (1 - \alpha)p_k(t) \quad k \neq i \quad k = 1,2,\dots,r$ 
    Next j
End if //Phase 4
Enable all the disabled actions of LAs
Until (stop condition)
End Procedure

```

شکل ۳: الگوریتم حل TSP با استفاده از DLA

**Function GetNextCity(j: Integer)**

//modify the action probability vector of <j> ( $P'^j$ ) as:

$$P'^j = \{p'_i | p'_i = \frac{[p_i^j \times W^{-1}(j,i)]^\beta}{\sum_{i=1}^r [p_i^j \times W^{-1}(j,i)]^\beta} : i = 1,2,\dots,r\}$$

Choose an action based on modified action probability vector,  $P'^j$

Restore Previous value of  $P^j$

**End function**

شکل ۴: تابع GetNextCity برای انتخاب یکی از اقدامهای مجاز اتوماتای فعال

<sup>۱۸</sup> Learning Rate

<sup>۱۹</sup> Path Probability

## ۵- نتایج حاصل از اجرای الگوریتم

کارایی الگوریتم پیشنهادی با استفاده از نمونه مسائل موجود در کتابخانه TSPLIB<sup>۹۰</sup> مورد بررسی قرار گرفته است. در این کتابخانه بیش از ۱۰۰ نمونه مساله فروشنده دوره گرد بهمراه بهترین جواب یافته شده برای هر کدام موجود است که بزرگترین مساله دارای ۸۵۹۰۰ شهر می باشد. ارزیابیهای انجام گرفته بر روی نمونه مسائلی است که مقدار بهینه آنها شناخته شده است.

در این قسمت نتایج حاصل از اجرای الگوریتم بر روی نمونه های مختلف متقارن و نامتقارن TSP برای مقادیر مختلف پارامترهای الگوریتم پیشنهادی مورد بررسی قرار میگیرد. نتایج گزارش شده میانگین حداقل ۵ مرتبه اجرای الگوریتم میباشد.

پارامترهای  $a$  و  $b$  و  $\beta$  بترتیب برابر  $\frac{2^*(n-2)}{n*(n-1)}$ ،  $a/2$  و  $10$  در نظر گرفته شده است که  $n$  تعداد شهرهای موجود در

نمونه مساله داده شده می باشد. مقادیر فوق برای پارامترها بصورت تجربی بدست آمده است. آزمایشها با استفاده از کامپیوتر خانگی AMD ۱۳۰۰ MHZ با ۱۲۸ مگابایت حافظه اصلی انجام گرفته است.

جدول ۱ نتایج اجرای الگوریتم، بر روی نمونه های متقارن مساله TSP را نشان می دهد. جوابهای بدست آمده توسط الگوریتم دارای خطای در حدود ۰ الی ۴ درصد می باشند که قابل قبول هستند. در این جدول اولین ستون نام مساله و در داخل پارانتز تعداد شهرهای مساله و در داخل برآکت تعداد ارزیابیهای انجام گرفته آمده است. ستون دوم بهترین نتیجه بودست آمده از اجرای الگوریتم، سومین ستون میانگین نتایج ۵ اجرای مختلف، ستون چهارم جواب بهینه نمونه مساله را نشان میدهد و ستون پنجم زمان لازم برای رسیدن به بهترین نتیجه توسط الگوریتم بر حسب دقیقه می باشد و آخرین ستون، درصد خطای الگوریتم از جواب بهینه می باشد که برابر: تفاضل جواب بهینه (N1) از بهترین نتیجه الگوریتم (N2) به جواب بهینه است

جدول ۱: نتایج الگوریتم پیشنهادی برای مسائل متقارن TSP

Problem (cities) [#evaluation]	Best Result	Average	Best Known	Time (minute)	Error % (N2-N1)/N1
Square(۲۵) [۲۰۰۰۰]	۳۶[۱۱]	۳۶	۳۶	۰	۰%
eil (۵۱) [۲۵۰۰۰]	۴۳[۲۱۰۰]	۴۳۵	۴۲۶	۲	۰/۹%
Berlin52(۵۲) [۱۰۰۰۰]	۷۵۴۲[۶۸۰۰]	۷۵۴۴	۷۵۴۲	۱	۰%
eil(۷۶) [۳۰۰۰۰]	۵۴۶[۲۴۹۰۰]	۵۰۱	۵۳۸	۰	۱/۱%
Kroa (۱۰۰) [۵۰۰۰۰]	۲۱۹۵۰[۵۰۰۰۰]	۲۲۳۰۰	۲۱۲۸۲	۱۰	۳/۱%
Eil101(۱۰۱) [۳۰۰۰۰]	۶۵۰[۳۰۰۰۰]	۶۷۰	۶۲۹	۱۱	۳%

نتایج اجرای الگوریتم بر روی نمونه های نامتقارن مساله TSP در جدول ۲ نشان داده شده است. با مقایسه نتایج جدول ۱ و ۲ میتوان نتیجه گرفت نتایج الگوریتم برای نمونه های متقارن، از میزان خطای کمتر و زمان اجرا پایین تری برخوردار است.

جدول ۲: نتایج الگوریتم پیشنهادی برای مسائل نامتقارن TSP.

Problem (cities) [#evaluation]	Best Result	Average	Best Known	Time (minute)	Error % (N2-N1)/N1
Br17(۱۷) [۲۰۰۰۰]	۹[۳]	۳۹	۳۹	۰	۰%
Ftv33(۳۳) [۲۰۰۰۰]	۲۸۶[۴۴۵۰]	۱۲۸۶	۱۲۸۶	۱	۰%
Ftv35 [۲۰۰۰۰]	۴۹۰[۱۸۰۰۰]	۱۰۱۰	۱۴۷۳	۲	۱/۰%
Ftv38 [۲۵۰۰۰]	۵۶۱[۲۱۸۰۰]	۱۶۱۰	۱۰۳۰	۳	۲/۰%
Ry48p (۴۸) [۲۰۰۰۰]	۵۰۰۰[۱۳۰۰۰]	۱۰۱۰۴	۱۴۴۲۲	۲	۴/۰%
Ft۷۰ (۷۰) [۲۰۰۰۰]	۱۰۵۹۴[۹۲۰۰]	۴۰۹۳۹	۳۸۶۷۳	۳	۴/۰%

<sup>۹۰</sup> <http://www.iwr.uni-heidelberg.de/groups/comopt/software/TSPLIB/>

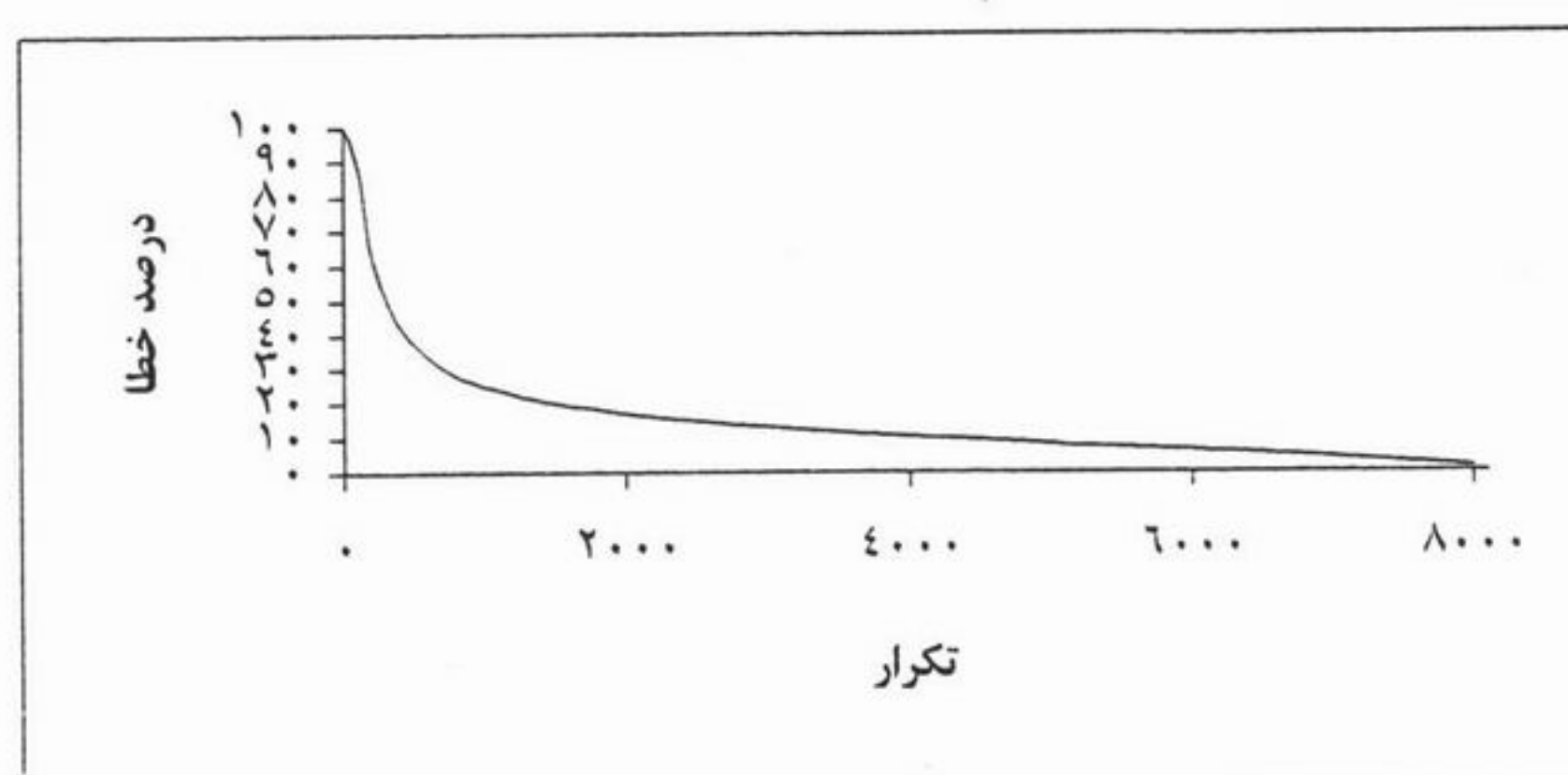
در جدول ۳ نتایج الگوریتم پیشنهادی با الگوریتمهای کولونی مورچه ها (ACS)، الگوریتمهای ژنتیکی (GA)، برنامه نویسی تکاملی (EP)، روش سرد شدن فلزات (SA) و ترکیب الگوریتمهای SA و GA (AG) مقایسه می شود. این جدول نشان میدهد که که جوابهای الگوریتم پیشنهادی در مقایسه با الگوریتمهای ACS، GA و EP بدتر می باشد [۱۵] ولی اگر زمان اجرا و تعداد تکرارهای لازم برای رسیدن به جواب بهینه را در نظر بگیریم، موضوع فرق خواهد کرد. مثلاً الگوریتم ACS از ده مورچه برای پیدا کردن جواب بهینه استفاده می کند و برای نمونه، جواب بهینه eil51 با ایجاد ۱۸۳۰ گردش توسط هر مورچه بدست می آید. که در واقع تعداد کل گردشها انجام گرفته (حاصلضرب تعداد مورچه‌ها در تعداد گردشها ایجاد شده توسط هر مورچه) توسط این الگوریتم بالغ بر ۱۸۳۰۰ خواهد شد. الگوریتم ACS در شرایط مشابه با الگوریتم پیشنهادی اجرا گردید و مشاهده شد که زمان لازم برای رسیدن به جواب بهینه برای مساله eil51 توسط الگوریتم حدوداً ۵ برابر زمان لازم توسط الگوریتم پیشنهادی میباشد.

شکل ۶ همگرایی الگوریتم پیشنهادی به جواب بهینه را برای مساله eil51 نشان میدهد. در این نمودار محور افقی تعداد تکرار و محور عمودی میزان خطای الگوریتم را نشان میدهد. همانگونه که مشاهده میشود بعد از سپری شدن چیزی در حدود ۸۰۰۰ تکرار، الگوریتم پیشنهادی جواب بهینه را پیدا میکند. برای حصول به جوابهای با خطای قابل قبول تعداد تکرارهای مورد نیاز به مراتب کمتر است.

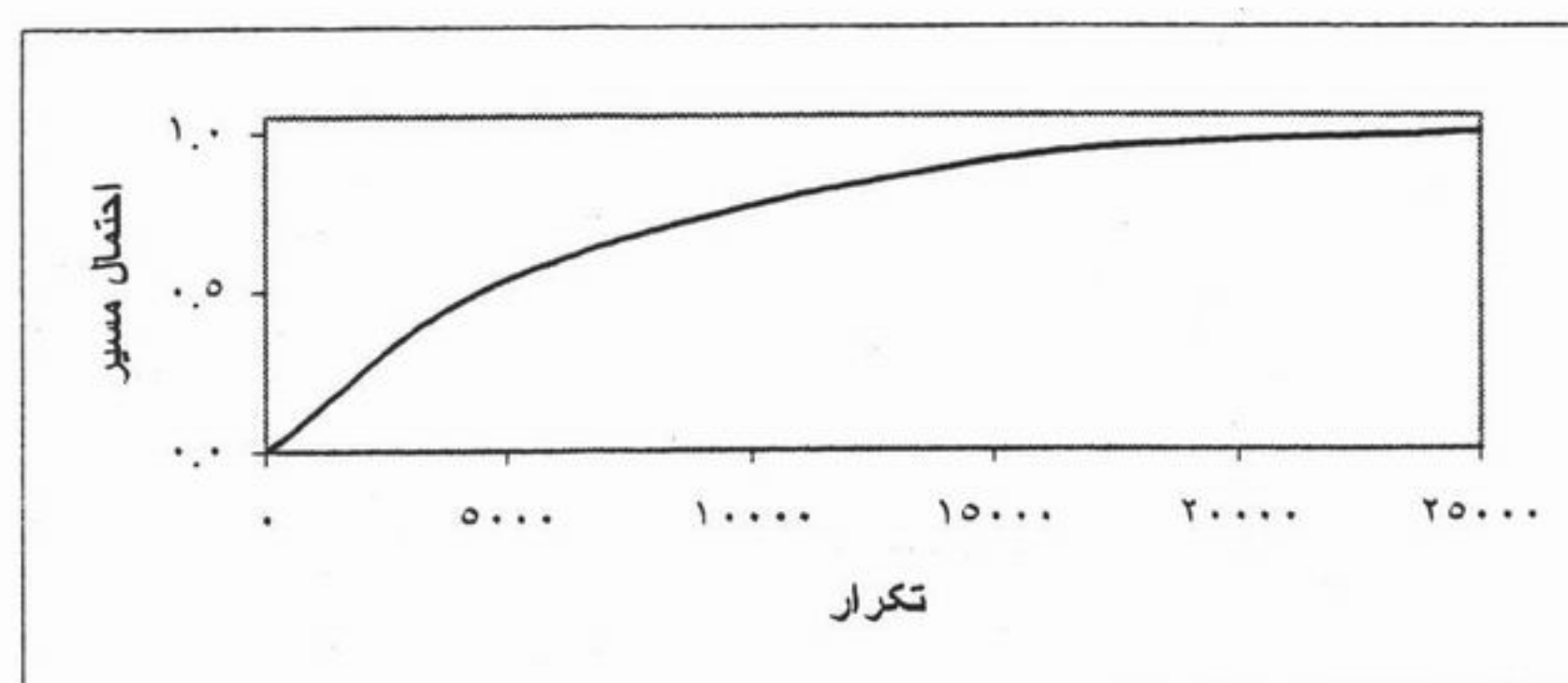
جدول ۳: مقایسه نتایج الگوریتم پیشنهادی با تعدادی از الگوریتمهای مطرح

Problem Name	Proposed Algorithm	ACS	GA	EP	SA	AG	Optimum
Eil51	۴۳۰ [۸۰۵۰]	۴۲۶ [۱۸۳۰۰]	۴۲۸ [۲۵۰۰۰]	۴۲۶ [۱۰۰۰۰]	۴۴۳ [۶۸۵۱۲]	۴۲۶ [۲۸۱۱۱]	۴۲۶
Eil76	۵۴۶ [۲۴۹۰۰]	۵۳۸ [۳۴۸۰۰]	۵۴۵ [۸۰۰۰]	۵۴۲ [۳۲۵۰۰]	۵۸۰ [۱۷۳۲۵۰]	۵۶۱ [۹۰۰۰۶]	۵۳۸
Kora100	۲۱۹۵۰ [۵۰۰۰]	۲۱۲۸۲ [۴۸۲۰۰]	۲۱۷۶۱ [۱۰۳۰۰]	N/A [N/A]	N/A [N/A]	N/A [N/A]	۲۱۲۸۲

شکل ۶ نمودار همگرایی الگوریتم به جواب بهینه نمونه مساله Eil51 را نشان می دهد در شکل ۷ نمودار احتمال مسیر که برابر حاصلضرب احتمال انتخاب اقدامهای واقع بر گردش بهینه میباشد، نشان داده شده است، هر چه الگوریتم به جواب بهینه و یا نزدیک به بهینه نزدیکتر شود، احتمال مسیر به یک نزدیکتر خواهد شد.



شکل ۶: نمودار همگرایی الگوریتم به جواب بهینه نمونه eil51.



شکل ۷: نمودار احتمال مسیر

## ۶- نتیجه گیری

در این مقاله یک الگوریتم تقریبی مبتنی بر اتوماتای یادگیر توزیع شده برای حل مساله فروشنده دوره گرد ارائه شد. مزایای این الگوریتم نسبت به الگوریتمهای تقریبی دیگر مانند الگوریتم های ژنتیکی، کولونی مورچه ها و روش سرد شدن فلزات مورد مطالعه قرار گرفت. از طریق شبیه سازی کامپیوتری نشان داده شد که الگوریتم پیشنهادی نسبت به الگوریتمهای فوق الذکر از کارایی بالاتری برخوردار است.

## مراجع

- [۱] Z. Michalewicz, "Genetic Algorithms + Data Structures = Evolution Programs", Springer-Verlag, 2nd edition, ۱۹۹۴.
- [۲] G. Reinelt, "The Traveling Salesman Problem: Computational Solutions for TSP Applications", Lecture Notes in Computer Science, Springer-Verlag, Vol. ۸۴۰, ۱۹۹۴.
- [۳] P. van Laarhoven and E. H. L. Aarts, "Simulated Annealing: Theory and Applications", Kluwer Academic Publishers, ۱۹۸۷.
- [۴] L. Fiechter, "A Parallel Tabu Search Algorithm for Large Traveling Salesman Problems", Discrete Applied Mathematics and Combinatorial Operations Research and Computer Science, No. ۵۱, ۱۹۹۴, pp. ۳۳-۲۶۷,
- [۵] R. Durbin, R. Szeliski, and A. Yuille, "An Analysis of the Elastic Net Approach to the Traveling Salesman Problem", Neural Computation, Vol. ۱, pp. ۳۸۴-۳۸۵, ۱۹۸۹.
- [۶] E. H. L. Aarts and H. P. Stehouwer, "Neural Networks and the Traveling Salesman Problem", Proc. Int. Conf. On Artificial Neural Networks, Springer-Verlag, ۱۹۹۳, pp. ۹۰-۹۰۰.
- [۷] D. E. Goldberg, "Genetic Algorithms in Search, Optimization and Machine Learning", Addison-Wesley, ۱۹۸۹.
- [۸] L. Homaifar, C. Guan, and G. Liepins, "A New Approach to the Traveling Salesman Problem by Genetic Algorithms", in Proc. ۵th Int. Conf. on Genetic Algorithms, pp. ۴۶۰-۴۶۶, Morgan Kaufmann Publishers, ۱۹۹۳.
- [۹] L. M. Gambardella and M. Dorigo, "Ant-Q: A Reinforcement Learning Approach to the Traveling Salesman Problem", Proc. ۱۴th Int. Conf. On Machine Learning, pp. ۲۰۲-۲۶۰, Morgan Kaufmann, ۱۹۹۰.
- [۱۰] M. R. Meybodi and H. Beigy, "Solving Stochastic Shortest Path Problem Using Distributed Learning Automata", Proceedings 7th Annual CSI Computer Conference, University of Isfahan's Computer Engineering Department, Isfahan, Iran, ۲۰۰۱.
- [۱۱] S. Lakshmivarahan, "Learning Algorithms: Theory and Applications", New York: Springer-verlag, ۱۹۸۱.
- [۱۲] M. R. Meybodi and S. Lakshmivarahan, "On a Class of Learning Algorithms which have Symetric Behavior under Success and Failure", Lecture Notes in Statistics, pp. ۱۴۰-۱۰۰., Berlin: Springer-Verlag, ۱۹۸۴.
- [۱۳] K. S. Narendra and K. S. Thathachar, "Learning Automata: An Introduction", New York: Prentice-Hall, ۱۹۸۹.
- [۱۴] H. Beigy and M. R. Meybodi "A New Distributed Learning Automata for Solving Stochastic Shortest Path Problem", Proceedings of the Sixth International Joint Conference on Information Science, Durham, USA ۲۰۰۲, , pp. ۳۳۹-۳۴۳,
- [۱۵] M. Dorigo and L. M. Gambardella, "Ant Colony System: A Cooperative Learning Approach to the Traveling Salesman Problem", IEEE Trans. Evol. Comp. Vol. ۱, pp. ۵۳-۶۶, ۱۹۹۷.
- [۱۶] P. Mars, J. R. Chen, and R. Nambir, "Learning Algorithms: Theory and Applications in Signal Processing", Control, and Communication, CRC Press Inc., ۱۹۹۶.